

数值分析大作业：人脸变形

自 64 赵文亮 2016011452

2018 年 11 月 15 日

目录

1	引言	2
2	变形函数	2
2.1	TPS 变形	2
2.2	B 样条变形	3
3	插值函数	3
3.1	反向插值	5
3.1.1	最近邻	5
3.1.2	双线性	5
3.1.3	双三次	5
3.2	正向插值简述	6
3.2.1	最近邻插值	6
4	人脸关键点检测	6
5	算法流程	6
5.1	关键点检测与读取	6
5.2	变形与插值	6
5.2.1	TPS 变形	6
5.2.2	B 样条变形	7
6	实验结果	7
6.1	程序界面	7
6.2	人脸变形结果	8
7	误差分析	8
7.1	舍入误差	9
7.2	方法误差	9
7.2.1	最近邻插值	9
7.2.2	双线性插值	10
7.2.3	双三次插值	10

1 引言

本次数值分析大作业的目标是编写程序对人脸图像进行扭曲变形。程序的输入为待修改人脸和目标人脸两张图片，输出为一张按照以目标人脸为模板修改后的人脸。本文中的人脸变形算法主要分为三个部分：人脸关键点检测、变形函数、插值，第 2 节至第 4 节将会分别介绍。第 5 节对本文算法的整体流程进行了详细的描述；第 6 节展示了程序使用方法和变形结果；最后对算法流程中产生的误差进行分析。

2 变形函数

本文实现了两种变形函数，分别为 TPS 变形和 B 样条变形，分别介绍如下：

2.1 TPS 变形

TPS (Thin plate spline, 薄板样条插值) 是一种有效的插值模型，它可以产生无穷阶可导的光滑曲面。给定 n 个控制点 $P_1(x_1, y_1), \dots, P_n(x_n, y_n)$ ，以及函数在这些点上的取值 $f(P_i), 1 \leq i \leq n$ ，TPS 的目标是寻找一个插值函数 f_{tps} ，使得 f_{tps} 通过所有的控制点，并且能量函数 I_f 达到最小。

$$I_f = \iint_{R^2} \left(\left(\frac{\partial^2 f}{\partial x^2} \right)^2 + 2 \left(\frac{\partial^2 f}{\partial x \partial y} \right)^2 + \left(\frac{\partial^2 f}{\partial y^2} \right)^2 \right) dx dy \quad (2.1)$$

本文中由于需要将一组二维点映射到另一组二维点，故实际上相当于进行了两次 TPS 插值。设目标点为 $P'_1(x'_1, y'_1), \dots, P'_n(x'_n, y'_n)$ ，插值基函数

$$U(r) = \begin{cases} r^2 \log(r^2), & r \neq 0 \\ 0, & r = 0 \end{cases} \quad (2.2)$$

令

$$K = \begin{bmatrix} 1 & U(r_{12}) & \cdots & U(r_{1n}) \\ U(r_{21}) & 0 & \cdots & U(r_{2n}) \\ \vdots & \vdots & \ddots & \vdots \\ U(r_{n1}) & U(r_{n2}) & \cdots & 0 \end{bmatrix} \quad P = \begin{bmatrix} 1 & x_1 & y_1 \\ 1 & x_2 & y_2 \\ \vdots & \vdots & \vdots \\ 1 & x_n & y_n \end{bmatrix} \quad L = \begin{bmatrix} K & P \\ P^T & O \end{bmatrix} \quad (2.3)$$

其中 $r_{ij} = \|P_i - P_j\|$ 为两个控制点之间的欧式距离。记

$$V = \begin{bmatrix} x'_1 & x_2 & \cdots & x'_n \\ y'_1 & y_2 & \cdots & y'_n \end{bmatrix} \quad Y = \begin{bmatrix} V & \begin{matrix} 0 & 0 & 0 \\ 0 & 0 & 0 \end{matrix} \end{bmatrix}^T \quad (2.4)$$

构造并求解方程

$$L[\mathbf{w}_1, \dots, \mathbf{w}_n, \mathbf{a}_1, \mathbf{a}_x, \mathbf{a}_y]^T = Y \quad (2.5)$$

得到 $\mathbf{a}, \mathbf{a}_x, \mathbf{a}_y, \mathbf{w}$ ，则有

$$\mathbf{f}_{\text{tps}}(x, y) = [f_{\text{tps},x}(x, y), f_{\text{tps},y}(x, y)]^T = \mathbf{a}_1 + \mathbf{a}_x x + \mathbf{a}_y y + \sum_{i=1}^n \mathbf{w}_i U(\|P_i - (x, y)\|) \quad (2.6)$$

式 2.6 即为 TPS 变形函数的求解结果。

2.2 B 样条变形

B 样条曲线是一种由 B 样条基函数线性组合得到的曲线。三次 B 样条的基函数为：

$$\begin{cases} B_0(t) = \frac{1}{6}(-t^3 + 3t^2 - 3t + 1) \\ B_1(t) = \frac{1}{6}(3t^3 - 6t^2 + 4) \\ B_2(t) = \frac{1}{6}(-3t^3 + 3t^2 + 3t + 1) \\ B_3(t) = \frac{1}{6}t^3 \end{cases} \quad t \in [0, 1] \quad (2.7)$$

本文中采用了 [1] 中的基于 B 样条的 FFD 算法 (Free-Form Deformation)。设图片宽度为 m , 高度为 n 。构造点集 Φ 为 $((m-1)/h+3) \times ((n-1)/h+3)$ 的网格, $\phi(i, j)$ 表示网格上第 ij 个控制点。变形函数 w 可以表示为:

$$w(u, v) = \sum_{k=0}^3 \sum_{l=0}^3 B_k(s) B_l(t) \phi_{(i+k)(j+l)} \quad (2.8)$$

其中

$$\begin{cases} i = \left\lfloor \frac{u}{h} \right\rfloor - 1 \\ j = \left\lfloor \frac{v}{h} \right\rfloor - 1 \\ s = \frac{u}{h} - \left\lfloor \frac{u}{h} \right\rfloor \\ t = \frac{v}{h} - \left\lfloor \frac{v}{h} \right\rfloor \end{cases} \quad (2.9)$$

初始状态下未经过变形的图像中的点可以表示为

$$w^0(u, v) = (u, v) = \sum_{k=0}^3 \sum_{l=0}^3 B_k(s) B_l(t) \phi_{(i+k)(j+l)}^0 \quad (2.10)$$

设 $\Delta\phi_{ij} = \phi_{ij} - \phi_{ij}^0$, 初始状态下图形中的某一点 p 变换后为 $q = w(p)$, 二者差值为 $\Delta q = w(p) - w^0(p) = q - p$, 则有

$$\Delta q = \sum_{k=0}^3 \sum_{l=0}^3 w_{kl} \phi_{(i+k)(j+l)} \quad (2.11)$$

其中 $w_{kl} = B_k(s) B_l(t)$ 。 $\Delta\phi_{kl}$ 由下式选取:

$$\Delta\phi_{kl} = \frac{w_{kl} \Delta q}{\sum_{a=0}^3 \sum_{b=0}^3 w_{ab}^2} \quad (2.12)$$

由于需要将图像中的一个点集通过变形函数映射到另一个点集, 设源点集为 P , 目的点集为 Q , 采用算法 1 即可计算出来对应的栅格控制点的偏移量。其中对 $\Delta\phi_{ij}$ 进行截断使得 $|\Delta\phi_{ij}|_\infty \leq 0.48$ 是为了保证映射的一一对应。计算出控制点后, 再从式 (2.8) 即可计算得到映射后点的坐标。

3 插值函数

插值总体上分为正向插值和反向插值两种思路。正向插值是指将原图中的所有像素点经过变形函数映射到目标图片, 得到许多散点, 再对没有被赋值的点进行插值; 反向插值是指将目标图片中的坐标经过变形函数

算法 1: Free-Form Deformation

Input : points sets P and Q

Output: control point displacements $\Delta\Phi = \{\Delta\phi_{ij}\}$

for all i, j **do**

 let $\delta_{ij} = 0$ and $\omega_{ij} = 0$;

end

for each point $p = (u, v)$ **in** P **do**

 let $i = \lfloor \frac{u}{h} \rfloor - 1$ and $j = \lfloor \frac{v}{h} \rfloor - 1$;

 let $s = \frac{u}{h} - \lfloor \frac{u}{h} \rfloor$ and $t = \frac{v}{h} - \lfloor \frac{v}{h} \rfloor$;

for $k, l = 0, 1, 2, 3$ **do**

 compute $\Delta\phi_{kl}$ with (2.12);

 add $w_{kl}^2 \Delta\phi_{kl}$ to $\delta_{(i+k)(j+l)}$;

 add w_{kl}^2 to $\omega_{(i+k)(j+l)}$

end

end

for all i, j **do**

if $\omega_{ij} \neq 0$ **then**

 compute $\Delta\phi_{ij} = \delta_{ij} / \omega_{ij}$;

 truncate $\Delta\phi_{ij}$ so thad $|\Delta\phi_{ij}|_\infty \leq 0.48$;

else

 let $\Delta\phi_{ij} = 0$;

end

end

反向映射回原始图像的坐标，再对这个点进行插值。事实证明，正向插值算法复杂度较高，而反向插值不仅复杂度低，而且可以方便地实现多种插值算法，故本文最终采用了反向插值。本节将介绍基于反向插值的三种插值方法，并在最后简述正向插值的思路。

3.1 反向插值

设从目标图像 I' 中的点 (x', y') 经变形函数反向映射后得到原始图像 I 中的坐标 (x, y) ，下面使用三种插值方法求解 $I'(x', y')$ 。

3.1.1 最近邻

直接采用 I 中距离 (x, y) 最近的像素点的值，即

$$I'(x', y') = I(\lfloor x + 0.5 \rfloor, \lfloor y + 0.5 \rfloor) \quad (3.1)$$

3.1.2 双线性

设 (x, y) 落在由点 $p_{11}(x_1, y_1), p_{12}(x_1, y_2), p_{21}(x_2, y_1), p_{22}(x_2, y_2)$ 组成的方格中（包括边界），则有

$$I'(x, y) = \frac{1}{(x_2 - x_1)(y_2 - y_1)} \begin{bmatrix} x_2 - x & x - x_1 \end{bmatrix} \begin{bmatrix} I(x_1, y_1) & I(x_1, y_2) \\ I(x_2, y_1) & I(x_2, y_2) \end{bmatrix} \begin{bmatrix} y_2 - y \\ y - y_1 \end{bmatrix} \quad (3.2)$$

双线性插值可以看成分别在 x 和 y 方向上做一次线性插值。

3.1.3 双三次

双三次插值考虑 (x, y) 所落在的 4×4 网格中。令

$$\begin{aligned} \alpha &= x - \lfloor x \rfloor \\ \beta &= y - \lfloor y \rfloor \end{aligned} \quad (3.3)$$

设

$$\begin{aligned} A &= \begin{bmatrix} S(\alpha + 1) & S(\alpha) & S(\alpha - 1) & S(\alpha - 2) \end{bmatrix}^T \\ C &= \begin{bmatrix} S(\beta + 1) & S(\beta) & S(\beta - 1) & S(\beta - 2) \end{bmatrix}^T \end{aligned} \quad (3.4)$$

其中

$$S(x) = \begin{cases} 1 - 2|x|^2 + |x|^3 & |x| \leq 1 \\ 4 - 8|x| + 5|x|^2 - |x|^3 & 1 < |x| < 2 \\ 0 & otherwise \end{cases} \quad (3.5)$$

由 4×4 网格点取值构造矩阵

$$B = \begin{bmatrix} I(\lfloor x \rfloor - 1, \lfloor y \rfloor - 1) & I(\lfloor x \rfloor - 1, \lfloor y \rfloor) & I(\lfloor x \rfloor - 1, \lfloor y \rfloor + 1) & I(\lfloor x \rfloor - 1, \lfloor y \rfloor + 2) \\ I(\lfloor x \rfloor, \lfloor y \rfloor - 1) & I(\lfloor x \rfloor, \lfloor y \rfloor) & I(\lfloor x \rfloor, \lfloor y \rfloor + 1) & I(\lfloor x \rfloor, \lfloor y \rfloor + 2) \\ I(\lfloor x \rfloor + 1, \lfloor y \rfloor - 1) & I(\lfloor x \rfloor + 1, \lfloor y \rfloor) & I(\lfloor x \rfloor + 1, \lfloor y \rfloor + 1) & I(\lfloor x \rfloor + 1, \lfloor y \rfloor + 2) \\ I(\lfloor x \rfloor + 2, \lfloor y \rfloor - 1) & I(\lfloor x \rfloor + 2, \lfloor y \rfloor) & I(\lfloor x \rfloor + 2, \lfloor y \rfloor + 1) & I(\lfloor x \rfloor + 2, \lfloor y \rfloor + 2) \end{bmatrix} \quad (3.6)$$

则插值结果

$$I'(x', y') = ABC^T \quad (3.7)$$

3.2 正向插值简述

由于正向变换后，目标图像上只有一些不规则的散点处有像素值，给插值带来了不便。本节将简述正向插值中最近邻插值实现方法¹。

3.2.1 最近邻插值

正向变换后得到的是一系列散点，所以不能直接通过简单的四舍五入找到最近邻。基于 k-d 树可以实现复杂度较低的最近邻查找。如果 n 为所有已知点的数目（即为源图像的像素数目），则查找最近邻的复杂度为 $\mathcal{O}(n \log n)$ 。事实上，基于 k-d 树和优先级队列可以实现 knn（k-nearest neighbors）算法，可以在 $\mathcal{O}(n \log n)$ 的时间内搜索与待插值点最近的 k 个已知点。

4 人脸关键点检测

本文使用 OpenCV 的扩展模块 face² 中的相关 API 来识别输入图片中的人脸关键点。该算法通过 HELEN 数据集训练出一个模型，在运行时调用预训练模型并加载级联分类器，即可完成人脸和关键点的检测。

5 算法流程

前文介绍了算法中用到的变形函数和插值方法，本节将对算法的流程进行详细的描述。

5.1 关键点检测与读取

程序运行时，会首先读取与输入图片对应的人脸关键点数据。如果找不到关键点数据，则调用人脸关键点检测函数，生成数据并保存。设待修改人脸和目标人脸的关键点分别为 P_S 和 P_D 。

5.2 变形与插值

本节将分别介绍使用 TPS 变形和 B 样条变形的算法流程。

5.2.1 TPS 变形

由于 TPS 变形对图像整体都有影响，所以我采用了先求取目标图像坐标范围，再反过来求解目标图像像素值的方式。具体流程如下：

1. 求取从 P_S 到 P_D 的 TPS 变形函数，记作 TPS_1
2. 使用 TPS_1 对待修改人脸的四个角点进行变换，得到输出图像的坐标范围
3. 求取从 P_D 到 P_S 的 TPS 变形函数，记作 TPS_2
4. 对输出图像坐标范围内的每一个坐标 (x', y') 使用 TPS_2 变换，得到其对应的坐标 (x, y)
5. 调用插值函数获得 $I'(x', y') = I(x, y)$

¹我最初实现的版本即为正向插值，后来由于复杂度过高将其改进为反向插值。

²https://github.com/opencv/opencv_contrib

5.2.2 B 样条变形

B 样条变形只对图像的局部有影响，故可以认为目标图像的范围和原图像的范围相同。具体流程如下：

1. 求解源关键点和目标关键点的 MBR^3 ，分别记作 MBR_S 和 MBR_D
2. 对 MBR_D 进行平移和缩放，使得 MBR_D 的长度与 MBR_S 的长度相等，且 MBR_D 的 MBR_S 的中心点重合。由此可以得到变换后的目标关键点，记作 P'_D
3. 求解从 P'_D 到 P_S 的 B 样条变形函数 W
4. 对输出图像中的每一个点 (x', y') ，使用变形函数 W 求出其对应的 (x, y)
5. 调用插值函数获得 $I'(x', y') = I(x, y)$

6 实验结果

6.1 程序界面

程序的初始界面如图 1 所示。用户可以选择变形函数或插值方法，在 B 样条中，用户可以指定控制网格的间隔。中间的区域分别为待修改人脸、目标人脸和修改后人脸。

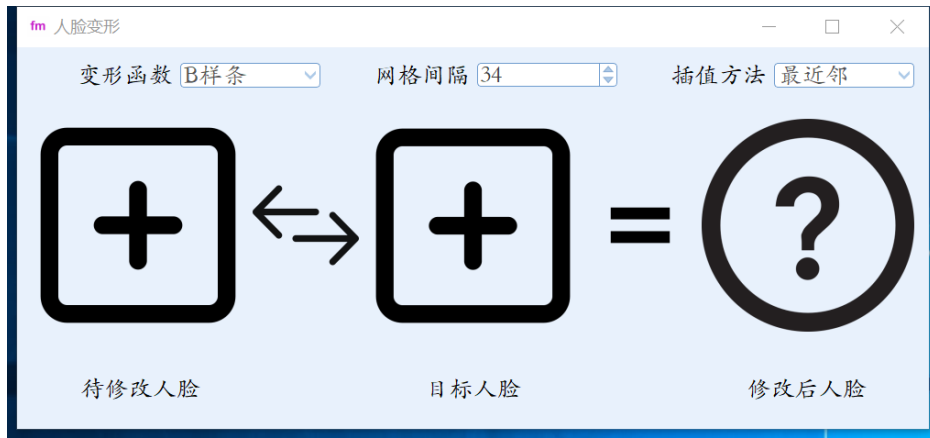


图 1: 程序初始界面

点击程序中几种符号的作用如下：

- 加号：载入待修改人脸或目标人脸图片。载入成功后可以点击对应图片再次修改；
- 互换符号：交换待修改人脸和目标人脸图片；
- 等号：开始变形；
- 问号：指定输出图片的保存路径。如果未指定，则会根据输入图片的路径自动生成路径。

³Minimum Bounding Rectangle, 最小外接矩形

6.2 人脸变形结果

图 2 展示了从数据集中的 6.jpg 到 9.jpg 的变形结果，分别使用了 TPS 和 B 样条变形。对比可见，TPS 变形函数作用于全局，导致图像的边界也发生了变化；B 样条变形函数作用于局部。另一方面，由于 B 样条变形函数改变的是控制点的位置，并不能保证变形后人脸关键点完全重合。

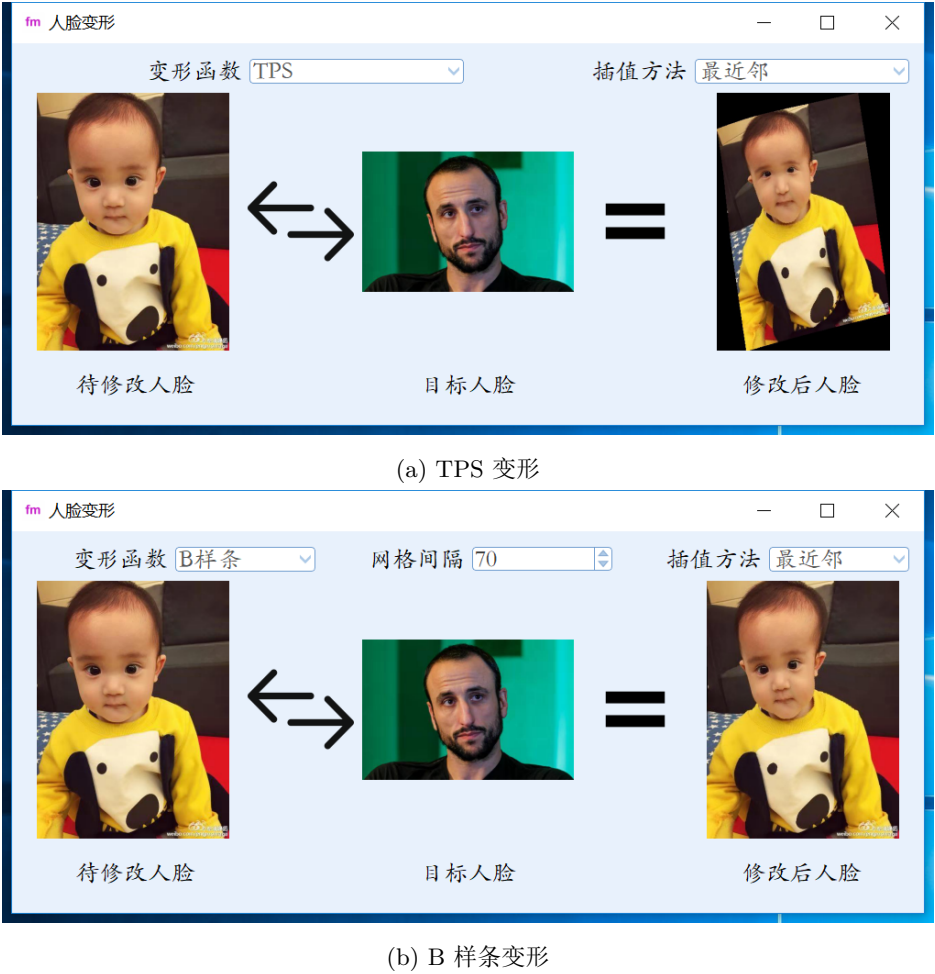


图 2: 两种变形函数比较（6.jpg → 9.jpg 变形结果）

图 3 展示了使用 B 样条变形从数据集中的 8.jpg 到 7.jpg 的变形结果，分别使用了最近邻、双线性、双三次插值方法。由于图片中像素较多，三种插值方法看起来效果都较好。实验中发现，三种算法消耗时间为最近邻 < 双线性 < 双三次。

7 误差分析

误差的来源分为模型误差、观测误差、舍入误差和方法误差。在数值分析中，我们不讨论模型误差和观测误差，只研究用数值方法求解问题过程中的误差 [2]。本节将着重分析舍入误差和方法误差。



(a) 最近邻

(b) 双线性

(c) 双三次

图 3: 三种插值方式对比 (8.jpg \rightarrow 7.jpg 变形结果)

7.1 舍入误差

- 数字图像处理的过程中将图片的像素值采样后存储在计算机中, 其 RGB 值存在一个离散化的过程, 假设每个通道像素值取值范围均为 $0 \sim 255$, 则由于采样间隔为 1, 带来的舍入误差 $R \leq \frac{1}{2}$ 。
- 由于计算机字长有限, 在计算过程中由于四舍五入会产生误差。在程序中关于坐标的计算均采用 double 类型变量, 故单次计算中的误差量级为 10^{-16} , 这个数值乘以计算的次数即可用来估计累积的误差, 求得累计误差的量级约为 10^{-15} 。
- 最终求取像素值时, 由于将 double 类型转换为 $0 \sim 255$ 之间的整数, 存在舍入误差 $R \leq \frac{1}{2}$ 。

7.2 方法误差

方法误差主要存在于插值的过程中, 三种方法的插值公式在第 3 节中已经给出, 下面进行误差分析。

7.2.1 最近邻插值

设点 (x, y) 处的像素值 $A = I(x, y)$, 最近邻误差在 x 和 y 方向都进行了四舍五入, 所以 $|\Delta x| \leq \frac{1}{2}$, $|\Delta y| \leq \frac{1}{2}$, 则误差为

$$\begin{aligned}
 R = |\Delta A| &\leq \max \left| \frac{\partial I}{\partial x} \right| \cdot |\Delta x| + \max \left| \frac{\partial I}{\partial y} \right| \cdot |\Delta y| \\
 &= \frac{1}{2} \left(\max \left| \frac{\partial I}{\partial x} \right| + \max \left| \frac{\partial I}{\partial y} \right| \right)
 \end{aligned} \tag{7.1}$$

7.2.2 双线性插值

由于双线性插值可以看成对 x 方向和 y 方向先后进行线性插值，所以首先求解一维的插值误差。设 $u = x - \lfloor x \rfloor, v = y - \lfloor y \rfloor$ ，则有

$$\begin{cases} R_x \leq \frac{1}{2} \max \left| \frac{\partial^2 I}{\partial x^2} \right| \cdot |u(u-1)| \leq \frac{1}{8} \max \left| \frac{\partial^2 I}{\partial x^2} \right| \\ R_y \leq \frac{1}{2} \max \left| \frac{\partial^2 I}{\partial y^2} \right| \cdot |v(v-1)| \leq \frac{1}{8} \max \left| \frac{\partial^2 I}{\partial y^2} \right| \end{cases} \quad (7.2)$$

则总误差

$$R \leq |R_x + R_y| \leq \frac{1}{8} \left(\max \left| \frac{\partial^2 I}{\partial x^2} \right| + \max \left| \frac{\partial^2 I}{\partial y^2} \right| \right) \quad (7.3)$$

7.2.3 双三次插值

双三次插值可以看成对 x 方向和 y 方向先后进行三次样条插值。一维时，有以下公式⁴

$$\begin{cases} R_x \leq \frac{5}{384} \max \left| \frac{\partial^4 I}{\partial x^4} \right| \\ R_y \leq \frac{5}{384} \max \left| \frac{\partial^4 I}{\partial y^4} \right| \end{cases} \quad (7.4)$$

则总误差为

$$R \leq |R_x + R_y| \leq \frac{5}{384} \left(\max \left| \frac{\partial^4 I}{\partial x^4} \right| + \max \left| \frac{\partial^4 I}{\partial y^4} \right| \right) \quad (7.5)$$

8 总结

通过完成本次大作业，我收获到了很多知识和技能。下面按照时间顺序简要总结：

- 首先是配置 OpenCV 环境。OpenCV 环境按照网上的教程配置下来并不困难，但是由于我一开始就想要完成附加题中的人脸关键点检测，所以我需要同时配置 OpenCV-Contrib 的环境。而 OpenCV-Contrib 的 Github 中只有源码，需要 CMake 从源码编译。于是我采用这个方式成功地配置了环境，学会了使用 CMake 进行源码编译的方法。
- 程序中关于矩阵的运算，我使用自己编写的 Mat 类完成。我新建了一个 namespace，名为 mycv，之后便可以使用 mycv::Mat 进行矩阵操作。接口设计上，我力求于 OpenCV 中的 cv::Mat 类的接口一致。这个过程中，我复习了 C++ 中关于动态内存分配、运算符重载、复制构造函数等内容，这些在矩阵类中都是必不可少的。
- 程序的界面我使用 Qt 完成。本次大作业中，我第一次在 VS 中使用 Qt。我继承了 QLabel 类编写了 ClickLabel 类，重写鼠标点击事件，得到了一个可以点击的 Label。这样就可以既在上面显示图片，又可以点击触发相应操作。
- 算法设计的过程中，我学会了 TPS、B 样条变形函数，更加熟悉了三种插值算法的特点。在之前刚刚结束的数图大作业（全景图像拼接）中，我学以致用，将 TPS 用到了一个插值问题中，得到了很好的效果。B 样条变形函数的编写是比较困难的，我查阅了大量资料，最终找到了一个适合于本次作业要求的算法，这一过程也锻炼了我查阅文献、复现算法的能力。

⁴见教材 46 页

- 在最后的误差分析的过程中，我重温了拉格朗日插值和埃尔米特插值的相关内容，从而能够更加深入理解双线性插值和双三次插值。

参考文献

- [1] S. Lee, G. Wolberg, K.-Y. Chwa, and S. Y. Shin, “Image metamorphosis with scattered feature constraints,” *IEEE Transactions on Visualization and Computer Graphics*, vol. 2, no. 4, pp. 337–354, 1996.
- [2] 李庆扬, 王能超, 易大义, 数值分析. 清华大学出版社, 2008.